

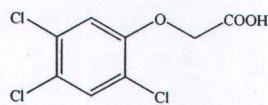


บทที่ 2

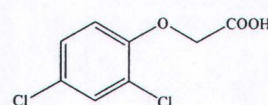
การเตรียมและทดสอบประสิทธิภาพของกะพิลารีคอลัมน์เพื่อการซึ่งกันและกัน และการรับประทานที่เหมาะสมสำหรับแยกสารกลุ่มฟีโนออกซีแอซิด และบิสฟีโนอลเอฟไกลซิดลีเทอร์ บิสฟีโนอลเอฟไกลซิดลีเทอร์ และอนุพันธ์

2.1 คำนำ

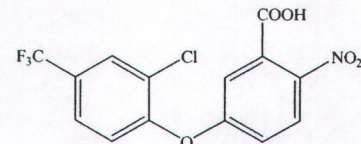
ฟีโนออกซีแอซิด (phenoxy acids) สูตรโครงสร้างดังรูปที่ 2.1 เป็นสารประเภทหนึ่งในกลุ่มของยาปราบวชพืชที่นิยมใช้ในงานทางด้านเกษตรกรรม เพื่อช่วยควบคุมการเจริญเติบโตของพืชที่ไม่ต้องการ หลังจากการฉีดพ่นสารเหล่านี้แล้วอาจทำให้ตอกด่างอยู่บนพืชผัก หรือเกิดการปนเปื้อนลงในสิ่งแวดล้อมทั้งในดินและน้ำได้ ดังนั้นการวิเคราะห์หาปริมาณฟีโนออกซีแอซิดจึงเป็นสิ่งจำเป็นที่ผ่านมีรายงานวิจัยการแยกและวิเคราะห์สารในกลุ่มฟีโนออกซีแอซิดด้วยเทคนิค GC, HPLC และ CE แต่ว่าวิธีการวิเคราะห์ที่ผ่านมาทำการแยกและวิเคราะห์ฟีโนออกซีแอซิดพร้อมกันครั้งละไม่เกิน 10 ชนิด ยกเว้น Kuang *et al.* ที่ทำการวิเคราะห์สารในกลุ่มฟีโนออกซีแอซิดพร้อมกัน 13 ชนิดด้วยเทคนิค GC แต่พิกัดของสารบางคู่ยังแยกออกจากกันไม่สมบูรณ์ ในงานวิจัยนี้จึงสนใจที่จะพัฒนาวิธี μ HPLC ให้สามารถวิเคราะห์สารในกลุ่มฟีโนออกซีแอซิดประมาณ 13 ชนิด เพื่อให้ครอบคลุมยิ่งขึ้นและใช้เวลาในการวิเคราะห์สารที่รวดเร็ว



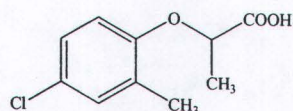
2,4,5-T



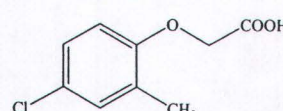
2,4-D



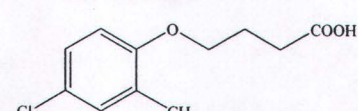
Acifluorfen



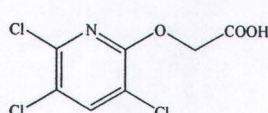
Mecoprop



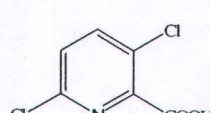
MCPA



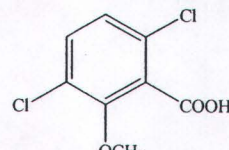
MCPB



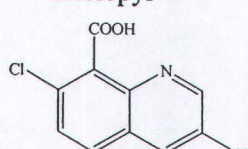
Triclopyr



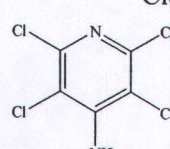
Clopyralid



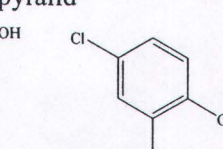
Dicamba



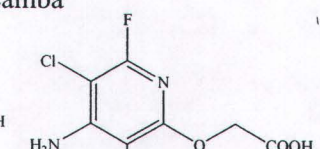
Quinclorac



Picloram



2,4-DB



สำนักงานคณะกรรมการ Fluroxypyr แห่งชาติ

ห้องสมุดงานวิจัย

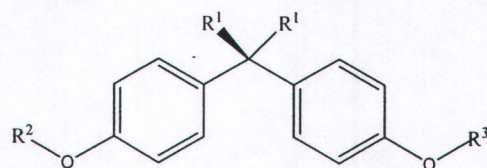
วันที่.....-2-๗-๒๕๕๕.....

เลขที่ห้องสมุด.....245898.....

เลขเรียกหนังสือ.....

รูปที่ 2.1 สูตรโครงสร้างของสารในกลุ่มฟีโนออกซีแอซิด

บิสฟีนอลเอไอกลซิดิลอีเทอร์ (bisphenol-A-diglycidyl ether, BADGE) และบิสฟีนอลเอฟไอกลซิดิลอีเทอร์ (bisphenol-F-diglycidyl ether, BFDGE) ดังสูตรโครงสร้างในรูปที่ 2.2 เป็นสารตั้งต้นของการเตรียม อิพอกซีเรชินที่ใช้เป็นสารเคลือบภายในกระป๋องบรรจุอาหาร ซึ่งสาร BADGE และ BFDGE ที่ตกค้างอยู่ในสารเคลือบกระป๋องอาจเปลี่ยนไปเป็นอนุพันธ์อื่นในระหว่างขั้นตอนการผลิต และอาจปนเปื้อนในอาหารที่บรรจุกระป๋องได้ สาภพยูโรปได้กำหนดปริมาณของ BADGE, BFDGE และอนุพันธ์ในอาหารไม่เกิน 1 mg/kg ซึ่งเมื่อเร็วๆ นี้ Leepipapiboon *et al.* ได้รายงานวิธีการวิเคราะห์สารเหล่านี้ด้วยเทคนิค HPLC อย่างไรก็ตามยังมีสารบางคุณที่แยกจากกันไม่สมบูรณ์ และใช้เวลาประมาณ 1 ชั่วโมง จึงสนใจที่จะต่อยอดงานวิจัยโดยพัฒนาวิธีของ μHPLC และ CEC เพื่อให้ได้ค่าการแยกที่ดีขึ้นและใช้วิถีทางอ้อม



สาร	R ¹	R ²	R ³
BADGE	CH ₃		
BADGE.H ₂ O	CH ₃		CH ₂ CH(OH)CH ₂ OH
BADGE.2H ₂ O	CH ₃	CH ₂ CH(OH)CH ₂ OH	CH ₂ CH(OH)CH ₂ OH
BADGE.HCl.H ₂ O	CH ₃	CH ₂ CH(Cl)CH ₂ OH	CH ₂ CH(OH)CH ₂ OH
BADGE.2HCl	CH ₃	CH ₂ CH(Cl)CH ₂ OH	CH ₂ CH(Cl)CH ₂ OH
BADGE.HCl	CH ₃		CH ₂ CH(Cl)CH ₂ OH
BFDGE	H		
BFDGE.H ₂ O	H		CH ₂ CH(OH)CH ₂ OH
BFDGE.2H ₂ O	H	CH ₂ CH(OH)CH ₂ OH	CH ₂ CH(OH)CH ₂ OH
BFDGE.HCl.H ₂ O	H	CH ₂ CH(Cl)CH ₂ OH	CH ₂ CH(OH)CH ₂ OH
BFDGE.2HCl	H	CH ₂ CH(Cl)CH ₂ OH	CH ₂ CH(Cl)CH ₂ OH
BFDGE.HCl	H		CH ₂ CH(Cl)CH ₂ OH

รูปที่ 2.2 สูตรโครงสร้างของ BADGEs และ BFDGEs

งานวิจัยที่ผ่านมาได้มีการพัฒนาแยกและวิเคราะห์สารในกลุ่มฟินอกซีแอชิด **BADGES** และ BFDGEs ด้วยเทคนิคต่างๆ ดังรายละเอียดต่อไปนี้

เนื่องจากฟินอกซีแอชิดเป็นสารที่มีข้อและกลาญเป็นไอได้ยาก ในการแยกและวิเคราะห์สารด้วยเทคนิค GC จึงต้องมีขั้นตอนการเตรียมอนุพันธ์ของสารก่อนการวิเคราะห์ ซึ่งสามารถเตรียมอนุพันธ์ได้หลายวิธี เช่น เตรียมผ่านปฏิกิริยาไชลิเลชัน [Rodriguez *et al.*: 2005, Pereiro *et al.*: 2004] เอสเทอโรฟิเคชัน [Catalina *et al.*: 2000, Hirahara *et al.*: 1997, Nilsson *et al.*: 1998, Kuang *et al.*: 2006] หรือแอลกิเลชัน [Rimmer *et al.*: 1996] ทำให้ขั้นตอนยุ่งยากและใช้ระยะเวลานาน เพื่อหลีกเลี่ยงปัญหาเหล่านี้จึงได้มีการพัฒนาวิธีการแยกและวิเคราะห์ฟินอกซีแอชิดด้วยเทคนิค HPLC และ CE ในการวิเคราะห์สารกลุ่มนี้ด้วยเทคนิค HPLC นิยมใช้คอลัมน์แยกสารเป็น C18 และใช้เฟสเคลื่อนที่ต่างๆ กัน เช่น อะซิโตไนโตรล์-น้ำ [Cappiello *et al.*: 1997], เมทานอล-กรดฟอฟอริก [Rosales-Conrado *et al.*: 2002], เมทานอล-แอนโนเนย์นอะซิเตต [Wu *et al.*: 2005] เป็นต้น และใช้เครื่องตรวจวัดประเกทต่างๆ ได้แก่ ยูวี-วิสิเบิล [Rosales-Conrado *et al.*: 2002, Wu *et al.*: 2005] และแมสสเปกไทรเมทรี [Takino *et al.*: 2001, Cappiello *et al.*: 1997] และสำหรับการวิเคราะห์สารด้วยเทคนิค CE ได้มีการนำเทคนิค CE ประเกทต่างๆ มาใช้สำหรับการแยกฟินอกซีแอชิด ได้แก่ เทคนิคคละพิลารี โซโนอิเล็กโทรฟอริซิต (capillary zone electrophoresis, CZE) โดยใช้บัฟเฟอร์ที่ประกอบด้วย 35 mM บอร์บัฟเฟอร์-60 mM ฟอสไฟต์บัฟเฟอร์ที่ pH 6.5 ที่มีการเติม 2 mM เมทิล酇เบตาไซโคลเดกซ์ทริน [Kruaysawat *et al.*: 2001] นอกจากนี้ยังมีรายงานของเทคนิคไมเซลลาร์อิเล็กโทร ไคเคนทิกโครมาโทรกราฟ (micellar electrokinetic chromatography, MEKC) โดยใช้บัฟเฟอร์ที่ประกอบด้วย 39 mM ฟอสไฟต์บัฟเฟอร์ที่ pH 7, 42 mM SDS, 1670 mM ยูเรีย และ 22.2 %(v/v) เมทานอล และทำการตรวจด้วยเครื่องตรวจวัดประเกทฟลูออเรสเซนซ์ [Jung and Brumley: 1995] อย่างไรก็ตามยังไม่พบว่ามีรายงานการวิเคราะห์สารกลุ่มนี้ด้วย μHPLC ที่คอลัมน์ประเกทมอนอลิตที่เป็นชิลิกา

สำหรับการวิเคราะห์ **BADGES** และ **BFDGEs** ส่วนใหญ่นิยมวิเคราะห์ด้วยเทคนิค reversed phase HPLC โดยใช้คอลัมน์เป็น C18 และมีเฟสเคลื่อนที่เป็นอะซิโตไนโตรล์สมกับน้ำ และใช้เครื่องตรวจวัดประเกทต่างๆ ได้แก่ ฟลูออเรสเซนซ์ [Lintschinger and Ruater: 2000, Berger *et al.*: 2001, Nerin *et al.*: 2002, Leepipatpiboon *et al.*: 2005] และแมสสเปกไทรเมทรี [Cottier *et al.*: 1997, Garcia and Losada: 2004] เป็นต้น อย่างไรก็ตามยังไม่ปรากฏว่ามีรายงานการวิเคราะห์สารกลุ่มนี้ด้วย μHPLC ที่ใช้คอลัมน์ประเกทมอนอลิตที่เป็นชิลิกา



2.2 การทดลอง

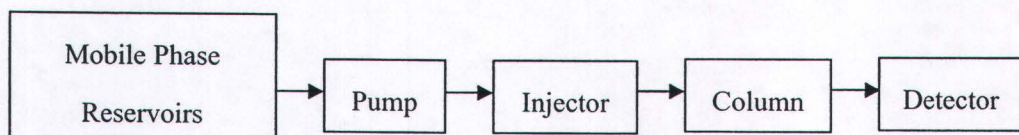
2.2.1 เครื่องมือและสารเคมี

1) สารเคมีและอุปกรณ์สำหรับเตรียมคอลัมน์อนอลิติก

fused-silica capillary ขนาดเส้นผ่านศูนย์กลางภายใน 100 และ 200 μm , tetramethoxysilane (TMOS), methyltrimethoxysilane (MTMS), 3-methacryloxypropyltrimethoxysilane (MOP), octadecyldimethyl-chlorosilane (ODS-Cl), urea, pyridine, poly(ethyleneglycol) (PEG, MW=10,000), octadecyl methacrylate, hexane, toluene, acetic acid (1M), diethylamine, α,α' -azobis-isobutyronitrile (AIBN), acetonitrile (ACN), methanol (MeOH), sodium hydroxide และ hydrochloric acid

2) เครื่อง HPLC และอุปกรณ์สำหรับการวิเคราะห์ด้วย conventional HPLC

ระบบที่ใช้ใน conventional HPLC เป็นของบริษัท Agilent Technologies รุ่น Hewlette Packard 1100 series ประกอบด้วย automatic degasser, binary pump, autosampler, column thermostat, diode array detector

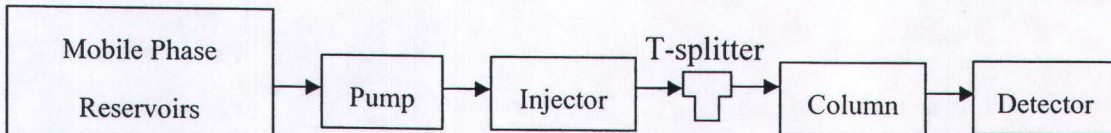


รูปที่ 2.3 ส่วนประกอบอย่างง่ายของเครื่อง HPLC: ดัดแปลงจาก [Synder et al.: 1979]

3) เครื่อง HPLC และอุปกรณ์สำหรับการวิเคราะห์ด้วย μHPLC

ระบบที่ใช้ทดสอบประสิทธิภาพของคอลัมน์ที่เตรียมได้เป็นระบบ HPLC แบบ split flow/injection ประกอบด้วยเซมิไมโครปั๊ม (บริษัท Jasco รุ่น 3085PU), 7725 injector (บริษัท Rheodyne) ที่มี splitting T-joint และ on- or off-column UV detector (บริษัท Jasco รุ่น CE-1575)

ระบบที่ใช้หากาวที่เหมาะสมในการแยกสารเป็นระบบ HPLC แบบ split-flow/injection ประกอบด้วยปั๊ม (บริษัท Shimadzu รุ่น LC-10AD), 7725 injector (บริษัท Rheodyne) ที่มี splitting T-joint, UV detector (บริษัท GL Sciences รุ่น MU701) และ capillary flow cell (GL Sciences, cell volume 6 nL)



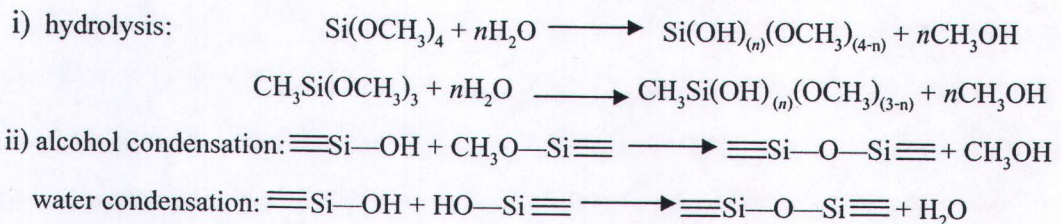
รูปที่ 2.4 ส่วนประกอบอย่างง่ายของเครื่อง μHPLC แบบ split flow/injection

2.2.2 การเตรียมซิลิกาบนอลิทิกคลาเรคอลัมน์ [Miyamoto et al.: 2008, Núñez et al.: 2008]

คลาเรคอลัมน์ประเกทซิลิกาบนอลิทิกสามารถเตรียมได้แบบ *in situ* โดยเกิดปฏิกิริยาผ่านกระบวนการ sol-gel เป็นซิลิกาบนอลิทิกภายในคลาเรคอลัมน์ได้เลย โดยก่อนเตรียมบนอลิทิกซิลิกาคลาเรคอลัมน์ นำ fused-silica capillary (ความยาวประมาณ 3 เมตร) มาปรับสภาพพื้นผิวภายในโดยการล้างผิวด้านในคลาเรคอลาร์ด้วย 1.0 M NaOH, น้ำ, 1.0 M HCl, น้ำ และอะซิโตน จากนั้นอัดอากาศเพื่อไล่อะซิโตนออก แล้วนำคลาเรคอลาร์ไปอบให้แห้งในตู้อบที่ 40°C

เตรียมซิลิกาบนอลิทิกคลาเรคอลัมน์โดยปฏิเสธสารละลายใช้เลนที่ประกอบด้วย TMOS:MTMS (ในอัตราส่วน 3:1 โดยปริมาตร) ปริมาตร 9.0 mL ลงในสารละลายที่ประกอบด้วย PEG 0.9000 g, ญูรีย 2.0250 g และ 10 mM กรดอะซิติก ปริมาตร 20.0 mL แล้วกวนให้เป็นเนื้อดียวกันที่อุณหภูมิ 0 °C จากนั้นบรรจุสารละลายผสมดังกล่าวเข้าไปในคลาเรคอลาร์ที่แช่ไว้ในอ่างน้ำ (water bath) ที่อุณหภูมิ 40 °C แล้วปล่อยให้เกิดเจลและบ่มเจลเป็นเวลา 24 ชั่วโมง หลังจากนั้นนำคลาเรคอลาร์ไปเพิ่มอุณหภูมิในตู้อบขึ้นจนถึง 80 °C คงไว้ 10 ชั่วโมง แล้วเพิ่มอุณหภูมิเป็น 120 °C คงไว้ 4 ชั่วโมง หลังจากลดอุณหภูมิลง นำคลาเรคอลาร์ที่มีเจลออกมารีดด้วยเมทานอลโดยใช้มือของ HPLC เป็นเวลา 1 สัปดาห์ จากนั้นนำคลาเรคอลาร์ไปอบในเตาอบที่อุณหภูมิ 330 °C เป็นเวลา 30 ชั่วโมง จะได้มนออลิทิกซิลิกาคลาเรคอลัมน์โดยตัดคลาเรคอลาร์ให้ได้ความยาวตามต้องการ

ปฏิกิริยาที่เกิดขึ้นในการกระบวนการซอลเจลนีดังนี้ [Legigo-Quigley et al.: 2003]

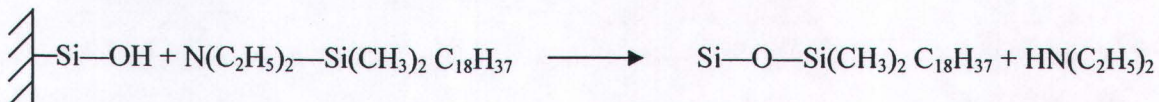


จากผลการเตรียมบนอลิทิกซิลิกาคลาเรคอลัมน์หลายครั้งด้วยกัน ได้คลาเรคอลัมน์ขนาดเส้นผ่าศูนย์กลาง 100 μm ยาว 40 cm ประมาณ 20 คลาเรคอลัมน์ และ 200 μm ยาวประมาณ 30 หรือ 40 cm ประมาณ 40 คลาเรคอลัมน์ แล้วนำไปทดสอบประสิทธิภาพของคลาเรคอลัมน์ด้วย μHPLC โดยใช้สารทดสอบเป็นยูราซิลและเฟสเคลื่อนที่เป็น 80% เมทานอล เนพะคลาเรคอลัมน์ที่มีความสูงของเพลตหนอยกว่า 8 μm หรือจำนวนเพลตมากกว่า 1.25×10^5 เพลต/เมตร แสดงว่ามีประสิทธิภาพสูงและจะนำไปปรับปรุงพื้นผิวซิลิกาบนอลิทิกที่มีเฟสคงที่ต่างๆ ต่อไป

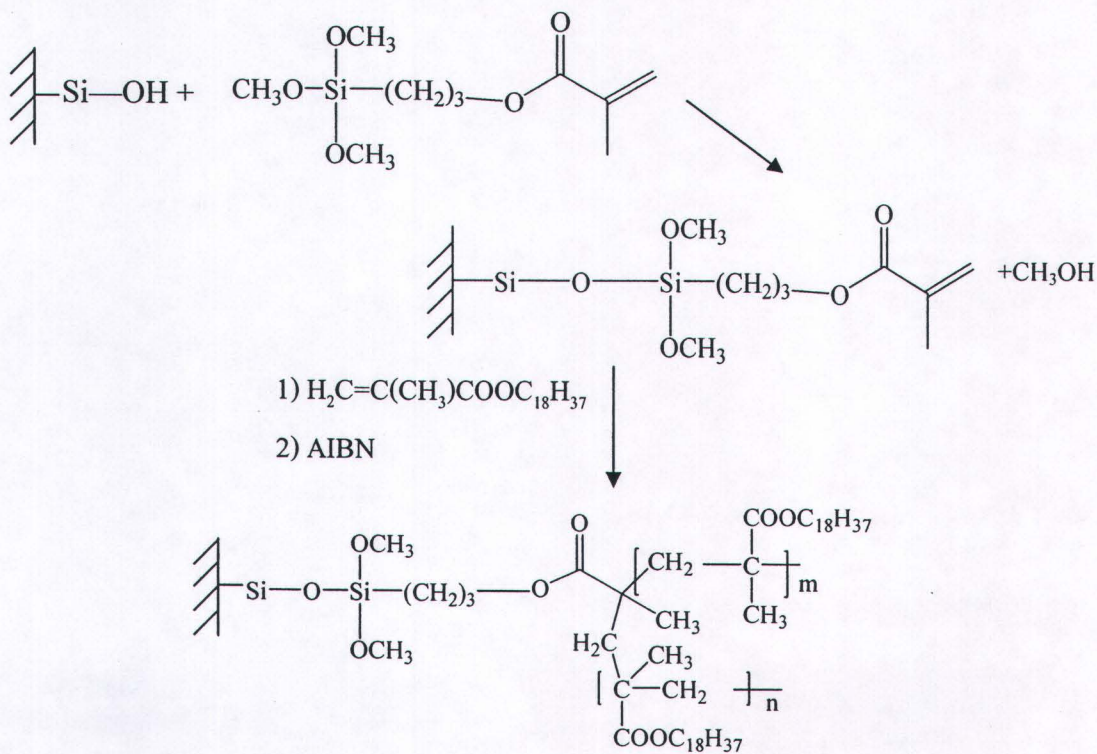
2.2.3 การปรับปรุงพื้นผิวชิลิกามอนอลิตให้แสดงสมบัติเป็นรีเวิร์สเฟส

2.2.3.1 การเตรียมคอลัมน์ ODS [Motokawa *et al.*: 2002]

การปรับปรุงพื้นผิวของชิลิกามอนอลิตให้มีเฟสคงที่เป็น ODS (C_{18}) หรือ คอลัมน์ ODS ทำได้โดยผ่านสารละลายน้ำ 20% ODS-DEA ในโกลูอีน เข้าไปในมอนอลิทิกชิลิกาคอลัมน์ด้วยความดันจากแก๊สในไตรเจนที่ 5 bar ที่อุณหภูมิ 60°C เป็นเวลา 3 ชั่วโมง แล้วนำคอลัมน์ที่ได้มาล้างด้วยโกลูอีน และ THF อย่างละ 1 ชั่วโมง ตามด้วยเมทานอล 24 ชั่วโมง จนน้ำคอลัมน์นำไปทดสอบประสิทธิภาพด้วย μHPLC โดยใช้สารทดสอบเป็นยูราซิลและอัลกิลเบนซิน และเฟสเคลื่อนที่เป็น 80% เมทานอล



2.2.3.2 การเตรียมคอลัมน์ ODM [Núñez *et al.*: 2007]



การปรับปรุงพื้นผิวของชิลิกามอนอลิตให้มีเฟสคงที่เป็น ODM หรือเรียกว่าคอลัมน์ ODM ทำได้ด้วยการใช้ปฏิกิริยา polymerization ของ ODM ที่มี AIBN เป็นสารเริ่มปฏิกิริยา (initiator) ในขั้นตอนเริ่มจากเกิดพันธะระหว่างหมู่ชีลิกามอนอลิกและพื้นผิวชิลิกามอนอลิกกับ MOP ก่อน โดยนำมอนอลิทิกชิลิกาคอลัมน์มาบรรจุด้วยสารละลายน้ำของ MOP: พีทีดีน (1:1 โดยปริมาตร) และทิ้งไว้ในตู้อบที่ 80°C เป็นเวลา 24 ชั่วโมง ล้างคอลัมน์ด้วยเมทานอล หลังจากนั้นนำไป

ทดสอบคอลัมน์โดยใช้สารทดสอบเป็นยูราซิลและເສກຊີລເບນເຊື່ອນ ແລະ ເຟສເຄລື່ອນທີ່ເປັນ 80% ເມທານອດ ຄອລັນທີ່ໄດ້ກ່າວເຖິງຫັນແພກເຕອຣ໌ (k) ຂອງເສກຊີລເບນເຊື່ອນ $k_{\text{hexylbenzene}} \geq 0.3$ ສາມາດນຳໄປການເກີດປົກປົກໂຮງຢາພອລິເມອໄຣເຫັນໃນຂັ້ນຕ່ອງໄປ ແຕ່ລ້າໄດ້ກ່າວ $k_{\text{hexylbenzene}} < 0.3$ ໃຫ້ນຳໄປການເກີດພັນະກັບ MOP ຫ້າອຶກຮັງ ສໍາຫັບຂັ້ນການເກີດປົກປົກໂຮງຢາພອລິເມອໄຣເຫັນຂອງ ODM ເຖິງຈາກບຽງສາຮະລາຍທີ່ປະກອບດ້ວຍ ODM ແລະ AIBN (ຄວາມເຂັ້ມຂຶ້ນ 20 mg/mL ໃນໂທລູອືນ) ໃນອັຕຣາສ່ວນ 1:1 ໂດຍປຣິມາຕຣ ເຂົ້າໄປໃນຄອລັນ MOP ແລ້ວຕັ້ງທີ່ໄວ້ໃຫ້ເກີດປົກປົກຢາໃນຕູ້ອນທີ່ 80 °C ເປັນເວລາ 3 ຂ້ວໂມງ ນຳຄອລັນທີ່ໄດ້ມາດ້າງດ້ວຍໂທລູອືນ 24 ຂ້ວໂມງ ແລ້ວຕາມດ້ວຍເມທານອດອຶກ 24 ຂ້ວໂມງ ລັດຈາກນັ້ນນຳຄອລັນທີ່ໄດ້ໄປການทดสอบປະສິທິກາພດ້ວຍ μ HPLC ໂດຍໃຫ້ສາຮັດສອນເປັນຍູຮາຊີລແລະອັຄີລເບນເຊື່ອນ ແລະ ເຟສເຄລື່ອນທີ່ເປັນ 80% ເມທານອດ

ໃນງານວິຂັ້ນນີ້ເນື້ອກລ່າວຄື່ງຄອລັນ ODS ມາຍຄື່ງ ມອນອລິທິກຊີລິກາຄອລັນທີ່ປະກອບປົງປົງພິວຂອງເຟສຄງທີ່ດ້ວຍ ODS-DEA ແລະ ຄອລັນ ODM ມາຍຄື່ງ ມອນອລິທິກຊີລິກາຄອລັນທີ່ປະກອບປົງປົງພິວຂອງເຟສຄງທີ່ດ້ວຍ poly(octadecyl methacrylate) ແລະ ຮະບູນາດເສັ້ນຜ່ານສູນຍົກລາງຂອງຄະພິລາວີຄອລັນທີ່ຕ່ອທ້າຍ ເຊັ່ນ ODS100a ມາຍຄື່ງ ຄອລັນ ODS ພາດເສັ້ນຜ່ານສູນຍົກລາງ 100 μm ໂດຍທີ່ a ທີ່ b ມາຍຄື່ງດຳນັບຂອງຄອລັນ

2.3 ຜົກຄະການໂຄດການ

2.3.1 ຖະຫາວຸດປະສິທິກາພຂອງຄອລັນ

ເຕີບຍົນມອນອລິທິກຊີລິກາຄອລັນໜ່າຍຄົ່ງດ້ວຍກັນ ແລະ ໄດ້ຄອລັນໜ່າຍເສັ້ນຜ່ານສູນຍົກລາງ 100 μm ຍາວ 40 cm ປະມາມ 20 ຄອລັນ ແລະ 200 μm ຍາວປະມາມ 30 ທີ່ b ເຊັ່ນ 40 cm ປະມາມ 40 ຄອລັນ ນຳໄປການทดสอบປະສິທິກາພຂອງຄອລັນທີ່ດ້ວຍ μ HPLC ໃຫ້ສາຮັດສອນເປັນຍູຮາຊີລແລະ ເຟສເຄລື່ອນທີ່ເປັນ 80% ເມທານອດ ເພາະຄອລັນທີ່ມີຄວາມສູງຂອງເພັດເຊີງທຸນຍົງ (total theoretical plates height, H) $H < 8 \mu\text{m}$ ທີ່ b ທີ່ ອຳຈຳນວນເພັດເຊີງທຸນຍົງ (number of theoretical plates, N) $N > 1.25 \times 10^5$ ເພັດ/ເມຕຣ (ໃຊ້ $u = 1.0 \text{ mm/s}$, $u = L/t_0$ ຕລອດຈານວິຂັ້ນນີ້ t_0 ເປັນຮັບເຫັນໄວ້ຂອງຍູຮາຊີລ ຜົ່າເປັນ unretained compound ແລະ L ອື່ນ ຄວາມຍາວຄອລັນ) ແສດງວ່າມີປະສິທິກາພສູງແລະ ນຳຄອລັນທີ່ໄດ້ໄປປະກອບປົງປົງພິວເຟສຄງທີ່ຕ່າງໆ ຕ່ອງໄປ

ສໍາຫັບຄອລັນທີ່ມີປະສິທິກາພສູງໄດ້ປະກອບປົງປົງພິວເຟສຄງທີ່ເປັນ RPLC ໂດຍເຕີບຍົນຄອລັນ ODS ພາດເສັ້ນຜ່ານສູນຍົກລາງ 100 ແລະ 200 μm (ດັ່ງໜ້າຂ້ອ 2.2.3.1) ແລະ ຄອລັນ ODM ພາດເສັ້ນຜ່ານສູນຍົກລາງ 200 μm (ດັ່ງໜ້າຂ້ອ 2.2.3.2) ຍາວ 30 cm ແລະ ນຳຄອລັນທີ່ໄດ້ມາການทดสอบປະສິທິກາພດ້ວຍເຟສເຄລື່ອນທີ່ເປັນ 80% ເມທານອດ ແລະ 80% ອະຊີໂຕໃນໄທຣລ໌ ສໍາຫັບການทดสอบປະສິທິກາພຂອງຄອລັນ ODS ໃຫ້ສາຮັດສອນເປັນຍູຮາຊີລແລະ ອັຄີລເບນເຊື່ອນທີ່ມີຈຳນວນຄາຮ່ອນຕັ້ງແຕ່ 1-6 (C1-C6) ໃນພະທີ່ການทดสอบປະສິທິກາພຂອງຄອລັນ ODM ໃຫ້ສາຮັດສອນເປັນຍູຮາ

ชิลและแอลกิลเบนซีน C1-C5 (เนื่องจากเอกซิลเบนซีนใช้เวลาวิเคราะห์นาน) โดยใช้ n ตั่งแต่ 0.2 mm/s ไปจนถึงอัตราไหลสูงสุดของเซนิไมโครปั๊มที่ใช้งานได้ คือ 2.0 mL/min

รูปที่ 2.5 แสดงความสัมพันธ์ระหว่าง k กับ n ของคอลัมน์ ODS100, ODS200 และ ODM200 ในเฟสเคลื่อนที่ 80% เมทานอลและ 80% อะซิโตในไทรล์ (คำนวณจากข้อมูลของ t_R ของอัลกิลเบนซีนและ t_0 ของยูราซิลในโคมาราโทแกรม (ไม่ได้แสดงไว้ในที่นี่)) โดยค่า k สามารถคำนวณได้ดังสมการ

$$k = \frac{t_R - t_0}{t_0} \quad (2.1)$$

t_R และ t_0 คือ รีเทนชันไทม์ (migration time) ของสารและ unretained compound ตามลำดับ

ค่า k ของแอลกิลเบนซีนใน reversed-phase บ่งบอกได้ถึงอัตราส่วนปริมาตรของเฟสคงที่ต่อเฟสเคลื่อนที่ [Núñez et al.: 2007] รูปที่ 2.6 แสดงกราฟความสัมพันธ์เชิงเส้นตรงระหว่าง $\log k$ และ z (z คือ จำนวนคาร์บอนในสายโซ่ต่างของอัลกิลเบนซีน) โดยที่ความชันของเส้นตรงเท่ากับ $\log \alpha(\text{CH}_2)$ ถ้า $\log \alpha(\text{CH}_2)$ หรือ $\alpha(\text{CH}_2)$ มีค่ามากกว่า แสดงถึงความไฮโดรโฟบิกของเฟสคงที่มากกว่า [Núñez et al.: 2007]

จากรูปที่ 2.5 แสดงค่า k เฉพาะอัลกิลเบนซีนบางสาร พบว่าค่า k ของสารชนิดเดียวกันไม่ขึ้นกับ n ซึ่งเป็นไปตามทฤษฎีโดยทั่วไป และเมื่อเปรียบเทียบคอลัมน์ ODS ขนาดเส้นผ่านศูนย์กลางต่างกัน คือ ODS100 และ ODS200 (รูปที่ 2.5.a1 และ 2.5.b1) ODS100 ให้ค่า k ของไทรล์อินและเอกซิลเบนซีนที่สูงกว่าเล็กน้อย และค่า $\alpha(\text{CH}_2)$ ที่มากกว่า (ตารางที่ 2.1) บ่งบอกถึงความไฮโดรโฟบิกของคอลัมน์ ODS100 ที่มากกว่าหรือพื้นผิวของเฟสคงที่ที่เกิดพันธะกับ ODS-DEA ที่มากกว่า เมื่อเปรียบเทียบการใช้เฟสเคลื่อนที่เป็นเมทานอลและอะซิโตในไทรล์ของ ODS100 และ ODS200 (รูปที่ 2.5.a และ 2.5.b) พบว่า k ของอะซิโตในไทรล์มีค่าน้อยกว่าเป็นผลจาก solvent strength ของอะซิโตในไทรล์ที่มากกว่า [Synder et al.: 1997]

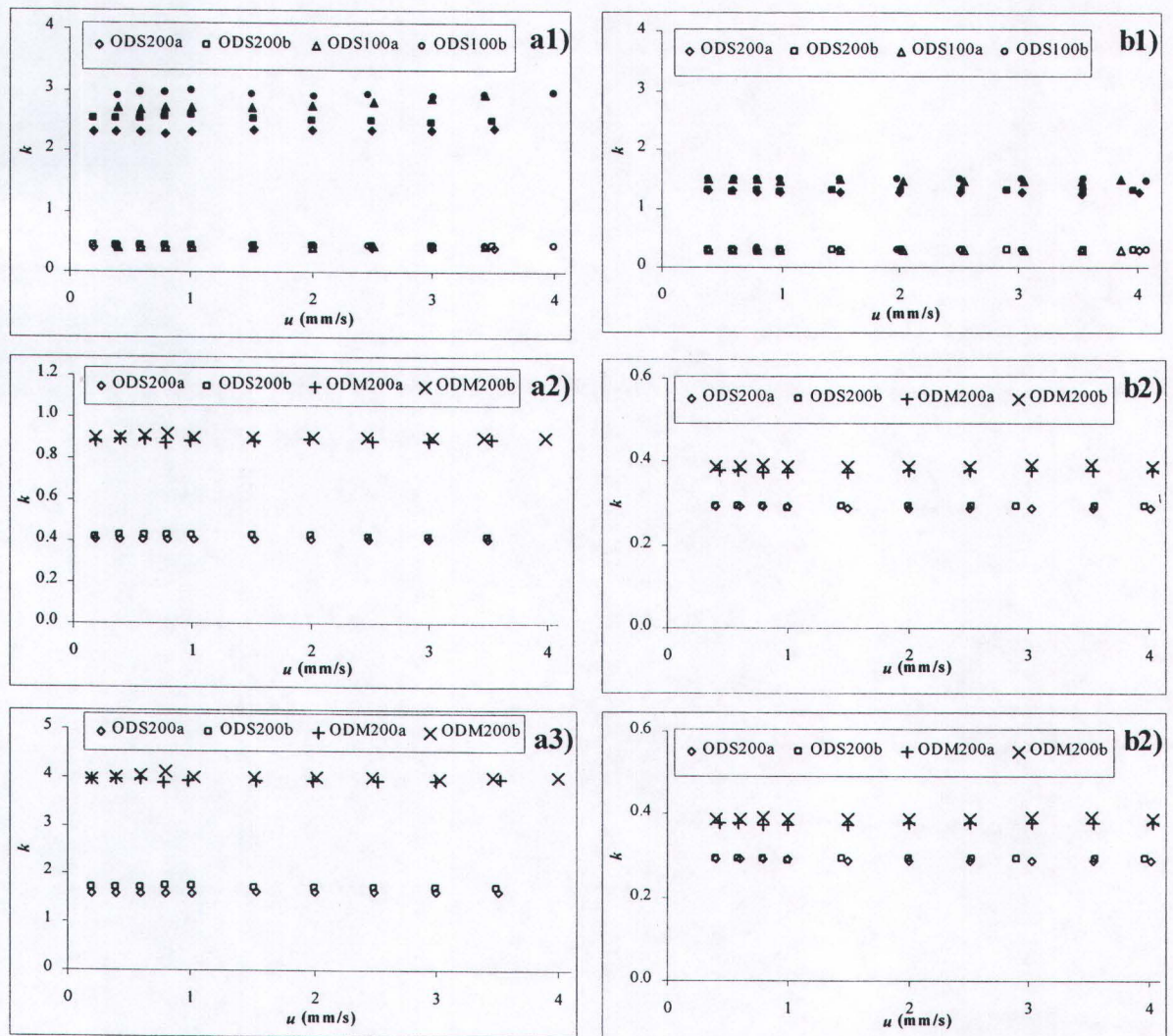
เมื่อเปรียบเทียบ k ของคอลัมน์ ODS200 และ ODM200 (รูปที่ 2.5.a2, 2.5.a3, 2.5.b2, 2.5.b3) โดยใช้สารทดสอบเป็นไทรล์อิน (a2, b2) และเพนทิลเบนซีน (a3, b3) พบว่า k ของสารที่สองในคอลัมน์ ODM มีค่ามากกว่า และเมื่อพิจารณาค่า $\alpha(\text{CH}_2)$ (ตารางที่ 2.1) คอลัมน์ ODM200 ให้ค่า $\alpha(\text{CH}_2)$ ใกล้เคียงกับ ODS200 ทั้งในเฟสเคลื่อนที่เป็น 80% เมทานอลและ 80% อะซิโตในไทรล์ ส่วนในเฟสเคลื่อนที่เป็น 80% อะซิโตในไทรล์ การรีเทนของสารใน ODM จะเพิ่มขึ้นเพียงเล็กน้อยเมื่อเทียบกับ ODS เนื่องจากอะซิโตในไทรล์จะเกิด solvation บน ODM ได้ดีกว่าเมทานอล ซึ่งผลการทดลองที่ได้สอดคล้องกับที่ได้รายงานไว้ในงานวิจัยก่อนหน้านี้ [Núñez et al.: 2007] จากการที่คอลัมน์ ODM มีความไฮโดรโฟบิกมากทำให้สารรีเทนในคอลัมน์ได้นาน จึงเลือกใช้ความยาวคอลัมน์ ODM เพียง 30 cm เพื่อให้ใช้เวลาในการวิเคราะห์ไม่นานมากนัก



จากตารางที่ 2.1 แสดงค่า H ของยูราซิลและแอลกิลเบนซินที่ใช้เป็นสารทดสอบของคอลัมน์ ODS และ ODM ทั้งในเฟสเคลื่อนที่เป็น 80% เมทานอลและ 80% อะซิโตในไทรล์ชั่ง H คำนวณได้จาก $H = L/N$ พบว่าที่ $u = 1.0 \text{ mm/s}$ แอลกิลเบนซินที่มีความยาวสายโซ่ค่า n เพิ่มขึ้นมีแนวโน้มของ H เพิ่มมากขึ้นเนื่องจากสารรีเทนในคอลัมน์นานขึ้นทำให้เกิดการกระจายของโซนสารมาก เมื่อพิจารณา van Deemter plot (ความสัมพันธ์ระหว่าง H กับ u) ของคอลัมน์ ODS100 และ ODS200 (รูปที่ 2.7) โดยแสดงเฉพาะสารทดสอบเป็นยูราซิล โทลูอินและเซกเซน ทั้งในเฟสเคลื่อนที่เป็น 80% เมทานอล และ 80% อะซิโตในไทรล์ สำหรับเฟสเคลื่อนที่ที่เป็นอะซิโตในไทรล์ (รูปที่ 2.7b) ให้ประสิทธิภาพของการแยกสารดีกว่าเมทานอล (จุดต่ำสุดของ H มีค่าน้อยกว่าเดือนไปตำแหน่งที่ u สูงกว่า) นอกจากนี้ที่ u มาก ค่าการเพิ่ม H ไม่มากนักเมื่อเทียบกับเฟสเคลื่อนที่ที่เป็นเมทานอล (รูปที่ 2.7a) เนื่องจากอะซิโตในไทรล์มีความหนืดลื่นน้อยกว่าทำให้สารมี diffusion coefficient ในเฟสเคลื่อนที่มาก [Ishizuka et al.: 2002]

เมื่อเปรียบเทียบ van Deemter plot ของคอลัมน์ ODS และ ODM (รูปที่ 2.8) พบว่ามีลักษณะแนวโน้มของกราฟที่คล้ายกัน แต่คอลัมน์ ODS ให้ H น้อยกว่าคอลัมน์ ODM (เช่น H เท่ากับ $8.6-8.9 \mu\text{m}$ และ $11.1 \mu\text{m}$ สำหรับคอลัมน์ ODS และ ODM ตามลำดับ ที่ใช้สารทดสอบเป็น C5 ในเฟสเคลื่อนที่ 80% เมทานอล) แสดงว่า คอลัมน์ ODS ที่เตรียมได้มีประสิทธิภาพดีกว่าเดือนน้อย ในขณะที่งานวิจัยก่อนหน้านี้ได้มีรายงานว่าสามารถเตรียมคอลัมน์ ODM ดีกว่าคอลัมน์ ODS (H เท่ากับ $13.8 \mu\text{m}$ และ $12.9 \mu\text{m}$ สำหรับคอลัมน์ ODS และ ODM ตามลำดับ ที่ใช้สารทดสอบเป็น C5 ในเฟสเคลื่อนที่ 80% เมทานอล [Núñez et al.: 2007 รูปที่ 3]) อย่างไรก็ตาม คอลัมน์ที่เตรียมได้ในงานวิจัยนี้มีประสิทธิภาพที่ดีกว่าเมื่อเทียบกับงานวิจัยก่อนหน้านี้

ค่าความดันในการขับเคลื่อนเฟสเคลื่อนที่ (back pressure, ΔP) ของคอลัมน์ที่เตรียมได้แสดงดังตารางที่ 2.1 ซึ่งความดันจะขึ้นอยู่กับความยาวของคอลัมน์ L และความเร็วเชิงเส้นของเฟสเคลื่อนที่ u ดังนั้นจึงเปรียบเทียบเป็นค่าความดันต่อความยาวคอลัมน์ ($\Delta P/L$) ที่ค่า $u = 1.0 \text{ mm/s}$ พบว่าค่า $\Delta P/L$ ของคอลัมน์ต่างๆ ที่ได้อัญญิช่วง $10.8-11.8$ และ $10.9-13.5 \text{ MPa/m}$ สำหรับคอลัมน์ ODS และ ODM ตามลำดับ ในเฟสเคลื่อนที่เป็น 80% เมทานอล และ $5.2-5.5$ และ $5.9-6.4 \text{ MPa/m}$ สำหรับคอลัมน์ ODS และ ODM ตามลำดับ ในเฟสเคลื่อนที่เป็น 80% อะซิโตในไทรล์ ซึ่งค่าที่ได้จากการวิจัยนี้สอดคล้องกับผลงานวิจัยที่เคยรายงานไว้ก่อนหน้านี้ (10.3 และ 10.4 MPa/m สำหรับคอลัมน์ ODS และ ODM ตามลำดับ ในเฟสเคลื่อนที่เป็น 80% เมทานอล และ 5.2 และ 5.7 MPa/m สำหรับคอลัมน์ ODS และ ODM ตามลำดับ ในเฟสเคลื่อนที่เป็น 80% อะซิโตในไทรล์ สำหรับที่ค่า $u = 1.0 \text{ mm/s}$ [Núñez et al.: 2007 รูปที่ 4])

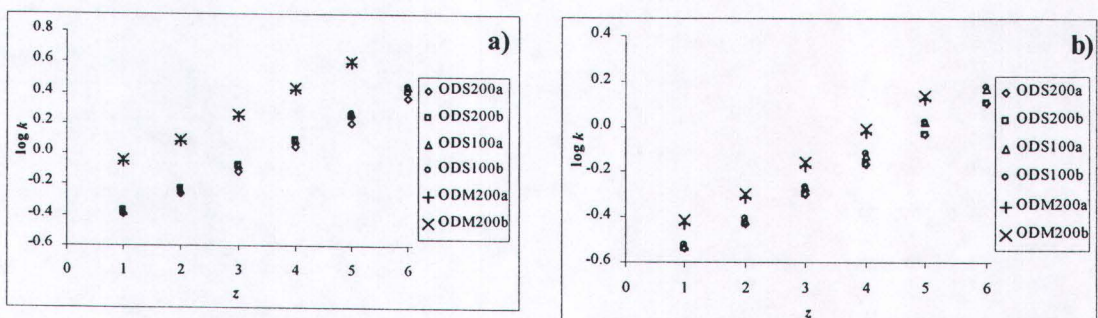


รูปที่ 2.5 ค่าเรียนชันแฟกเตอร์ของสารทดสอบที่ความเร็วเชิงเส้นต่างๆ ของเฟสเคลื่อนที่ (a) 80% เมทานอล และ (b) 80% อะซิโตไนโตรล์ โดยที่ในรูป a1 และ b1 ใช้คอลัมน์ ODS100 (ยาว 40 cm) และ ODS200 (ยาว 30 cm) และสารทดสอบเป็นโกลูอีน (สัญลักษณ์โปรดং) และเซกชิลเบนชีน (สัญลักษณ์ทึบ) ส่วนรูป a2, a3, b2 และ b3 ใช้คอลัมน์ ODS200 (ยาว 40 cm) และ ODM200 (40 cm) และสารทดสอบเป็นโกลูอีน (a2, b2) และเพนทิลเบนชีน (a3, b3)

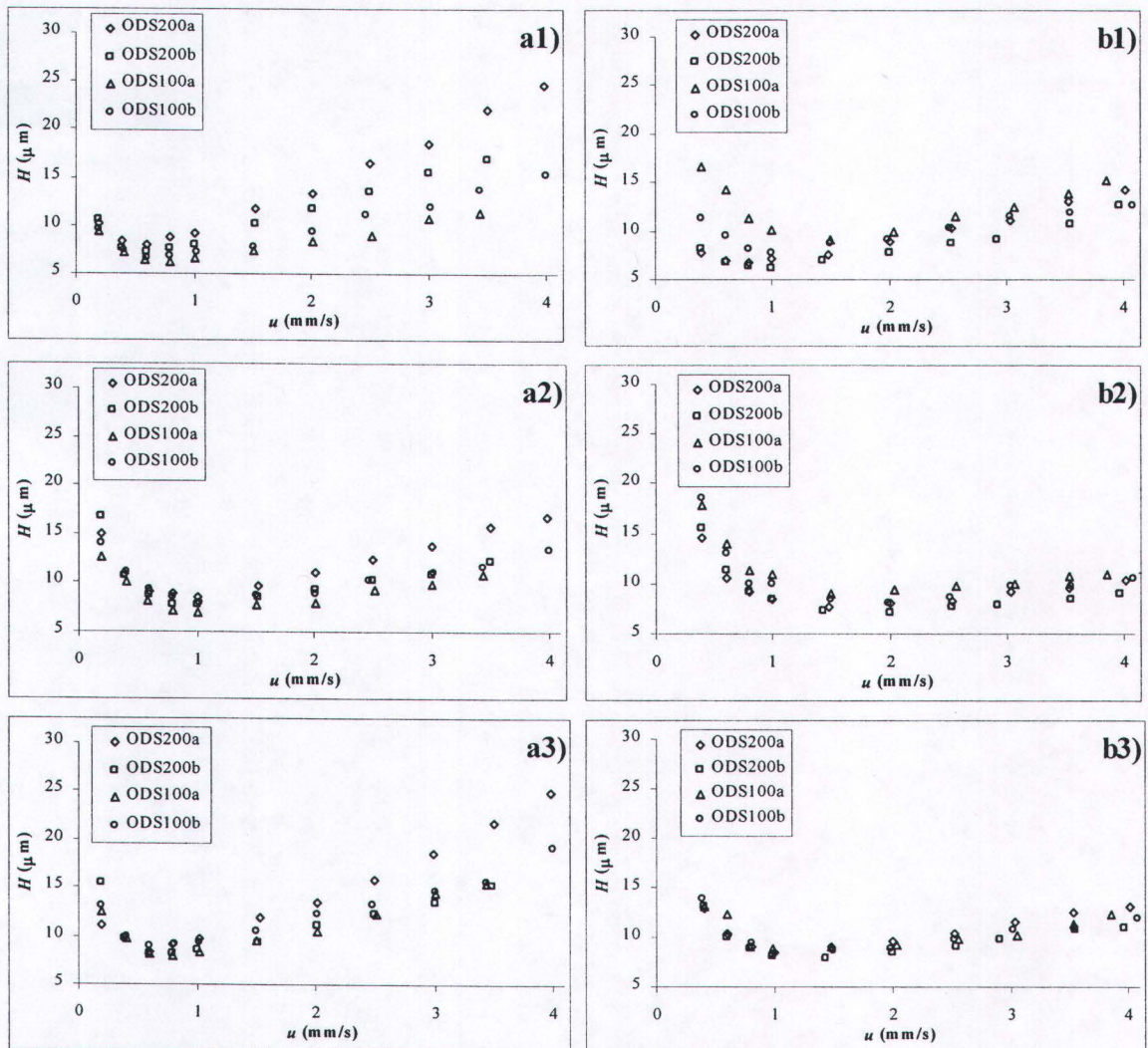
ตารางที่ 2.1 ค่า H , $\alpha(\text{CH}_2)$, และความดันในการขับเคลื่อนเฟสเคลื่อนที่

เฟส เคลื่อนที่	คอลัมน์	H (μm) ที่ได้จากสารทดสอบที่เป็น							$\alpha(\text{CH}_2)$	ความดัน (ΔP , MPa)	$\Delta P/L$ (MPa/m)
		uracil	C1	C2	C3	C4	C5	C6			
80% MeOH	ODS100a	6.6	7.0	7.5	7.2	7.6	8.4	8.3	1.46	5.1	12.8
	ODS100b	7.1	8.0	8.0	8.1	8.5	8.6	9.4	1.46	4.2	10.5
	ODS200a	9.2	8.6	8.8	9.0	9.5	8.9	9.8	1.42	4.3	10.8
	ODS200b	8.0	7.7	7.8	8.1	8.6	8.6	8.5	1.43	4.7	11.8
	ODM200a	10.2	9.8	10.2	10.4	10.9	11.1	-	1.46	3.2	10.9
	ODM200b	12.4	10.7	11.1	11.1	11.1	11.1	-	1.46	4.0	13.5
80% ACN	ODS100a	10.1	10.9	10.2	10.0	9.8	8.9	8.8	1.38	2.5	6.2
	ODS100b	7.8	10.0	9.4	9.8	9.1	8.5	8.3	1.38	1.7	4.2
	ODS200a	7.1	8.4	8.4	8.2	8.4	8.7	8.5	1.34	2.0	5.5
	ODS200b	6.1	8.4	8.1	7.8	8.0	8.1	8.1	1.35	2.2	5.2
	ODM200a	7.2	7.7	7.8	7.8	8.2	8.5	-	1.37	1.7	5.9
	ODM200b	7.8	8.1	8.2	8.1	8.1	8.4	-	1.37	1.8	6.4

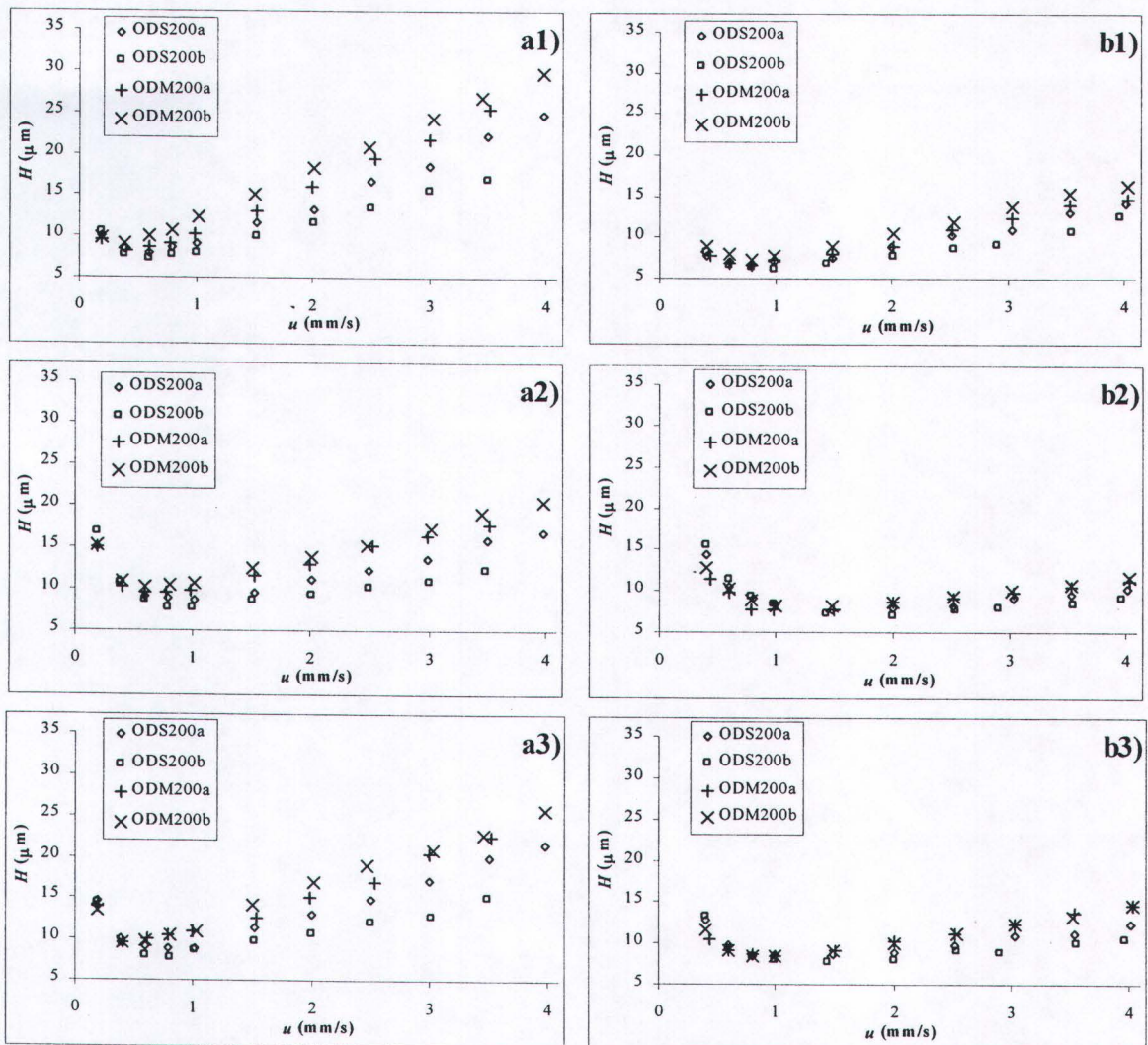
$\alpha(\text{CH}_2)$ คำนวณจากความชันของกราฟรูปที่ 2 ซึ่งมีค่าเท่ากับ $\log \alpha(\text{CH}_2)$, ΔP ที่ $u = 1.0 \text{ mm/s}$



รูปที่ 2.6 ความสัมพันธ์ระหว่าง $\log k$ กับ z ที่ใช้เฟสเคลื่อนที่ ($u=1.0 \text{ mm/s}$) (a) 80% เมทานอล และ (b) 80% อะซิโตไนโตรส สำหรับคอลัมน์ ODS100, ODS200 และ ODM200



รูปที่ 2.7 van Deemter plot สำหรับคอลัมน์ ODS100 และ ODS200 ยาว 40 cm ที่ใช้เฟสเคลื่อนที่เป็น (a) 80% เมทานอล และ (b) 80% อะซิโตไนท์ในไทรล์ โดยที่สารทดสอบเป็นยูราซิล (a1, b1), โทกุอีน (a2, b2), เสกซิลเบนซีน (a3, b3)



รูปที่ 2.8 van Deemter plot สำหรับคอลัมน์ ODS200 ยาว 40 cm และ ODM200 ยาว 30 cm ที่ใช้เฟสเคลื่อนที่เป็น (a) 80% เมทานอล และ (b) 80% อะซิโตไนไทรล์ โดยที่สารทดสอบเป็นยูราซิด (a1, b1), โกลูอีน (a2, b2), เพนทิลเบนซิน (a3, b3)

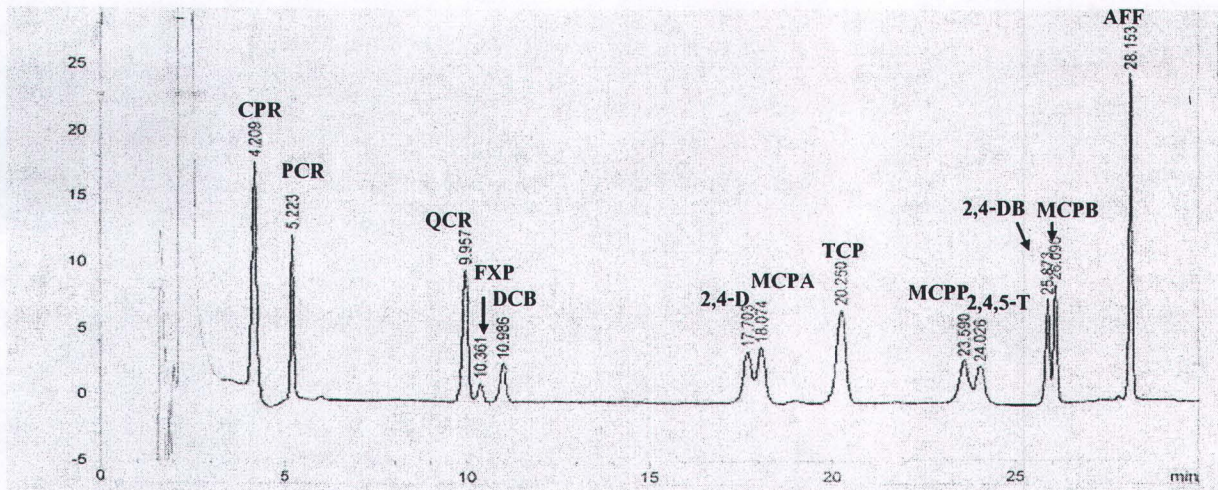
2.3.2 การแยก phenoxy acid herbicides 13 ชนิด ด้วย HPLC และ μHPLC

ได้ทำการศึกษาพัฒนาระบบการเคลื่อนที่ของสาร และหาภาวะที่เหมาะสมของการแยกสารใน HPLC ด้วย conventional column เพื่อคุณภาพของการแยกสารในเบื้องต้น พร้อมทั้งได้ทำการเตรียมอนุอลิทิกซิลิเกตคอลัมน์ และปรับปรุงพื้นผิวเฟสคงที่ให้เป็น RPLC รวมถึงทดสอบประสิทธิภาพของคอลัมน์ที่ได้ และนำมาใช้ศึกษาพัฒนาระบบการเคลื่อนที่และหาภาวะที่เหมาะสมของการแยกสารใน μHPLC

2.3.2.1 ภาวะที่เหมาะสมสำหรับการแยก phenoxy acid herbicides ด้วย conventional HPLC

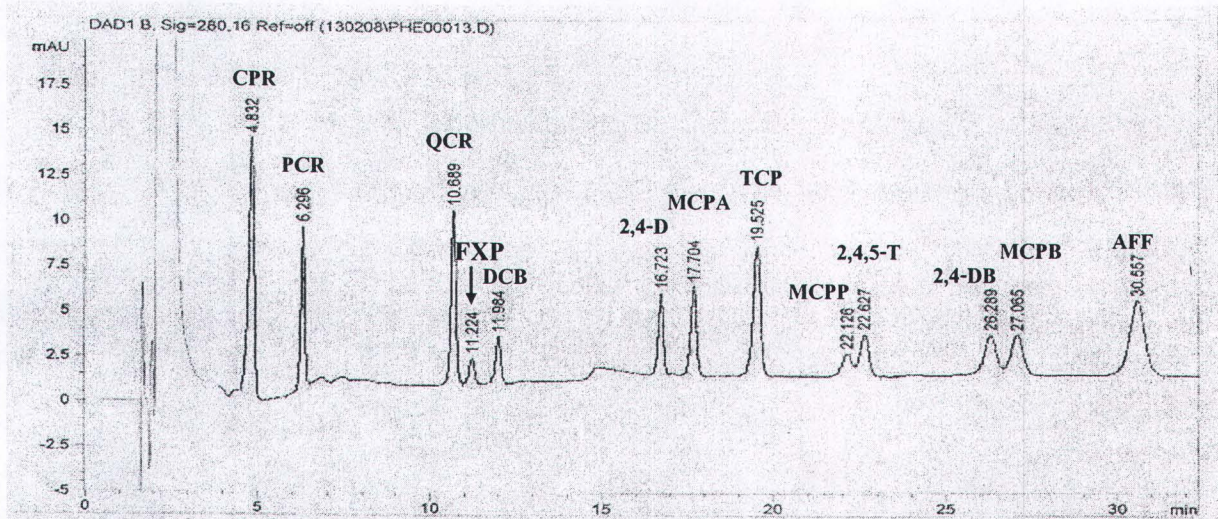
ได้ทำการศึกษาพัฒนาระบบการแยกและหาภาวะที่เหมาะสมสำหรับการแยกสารกลุ่ม phenoxy acids และ acidic herbicides รวมทั้งหมด 13 ชนิด สูตรโครงสร้างของสารแสดงดังรูปที่ 2.1 โดยทำการปรับเปลี่ยนชนิดและอัตราส่วนของเฟสเคลื่อนที่แบบ gradient elution (ช่วงเวลาต่างๆปรับส่วนผสมของตัวทำละลายอินทรีย์) ซึ่งเฟสเคลื่อนที่ในการทดลองนี้เป็นอะซิโตรานไฮดรอลิกและลายกรดอะซิติกที่ปรับเป็น pH 2.5 หรือ เมทานอล:สารละลายกรดอะซิติกที่ปรับเป็น pH 2.5 ได้ภาวะของ gradient elution ที่เหมาะสมที่สุดดังโกรมาโทแกรมในรูปที่ 2.9 และ 2.10 ตามลำดับ

เมื่อเปรียบเทียบภาวะการแยกที่ดีที่สุดของตัวทำละลายอินทรีย์ที่เป็นอะซิโตในไฮดรอลิกและลายกรดอะซิติกที่ปรับเป็น pH 2.5 พบว่าเมทานอลให้การแยกที่ดีกว่าอะซิโตในไฮดรอลิกและลายกรดอะซิติกที่ปรับเป็น pH 2.5 แต่ในกรณีที่วิเคราะห์ในตัวอย่างจริง เมทริกซ์อาจไปรบกวนการวิเคราะห์สารทำให้ปริมาณวิเคราะห์เหลือ แต่ในกรณีที่วิเคราะห์ในตัวอย่างจริง เมทริกซ์อาจไปรบกวนการวิเคราะห์สารทำให้ปริมาณวิเคราะห์ลดลงได้ จึงมีความสนใจศึกษาการแยกสารด้วย μHPLC โดยใช้มอนอเลติกซิลิเกตคอลัมน์แบบ reversed-phase HPLC ต่อไป เพื่อให้ได้การแยกสารที่สมบูรณ์และใช้ระยะเวลาวิเคราะห์สารที่รวดเร็ว



รูปที่ 2.9 โปรแกรมการแยกสารมาตราฐานของ phenoxy acids และ acidic herbicides ด้วย conventional HPLC โดยใช้เฟสเคลื่อนที่เป็น อะซิโตรไนไทรล์:สารละลายน้ำอะซิติกที่ pH 2.5 (B : A) ด้วย gradient profile ที่ช่วงเวลาต่างๆปรับ % B ดังนี้ 0-1.5 นาที (15% B), 2.0 นาที (20% B), 8 นาที (30% B), 18 นาที (35% B), 22 นาที (38% B), 25-30 นาที (60% B)

ภาวะอื่นของ HPLC: เครื่อง HPLC Agilent 1100 series, คอลัมน์ เป็น eclipse XDB-C8 ขนาด 5 μm , 4.6 mm), อุณหภูมิ 30 °C, อัตราไฟล 1 mL/min, ตรวจวัดด้วย UV photodiode array และแสดงผลที่ความยาวคลื่น 280 nm, ปริมาณสารที่ฉีด 10 μL



รูปที่ 2.10 โปรแกรมการแยกสารมาตราฐานของ phenoxy acids และ acidic herbicides บางชนิดด้วย conventional HPLC โดยใช้เฟสเคลื่อนที่เป็น เมทานอล: สารละลายน้ำอะซีติกที่ pH 2.5 (B:A) ด้วย gradient profile ที่เวลาต่างๆปรับ % B ดังนี้ 0-2 นาที (20% B), 4 นาที (40% B), 12 นาที (50% B), 12.1-35 นาที (55% B) ส่วนภาวะอื่นของ HPLC ดังรูปที่ 2.9

2.3.2.2 ภาวะที่เหมาะสมสำหรับการแยกสารด้วย μHPLC-UV detection

1) ภาวะที่เหมาะสมสำหรับแยกสาร phenoxy acid herbicides ด้วยคอลัมน์ ODS

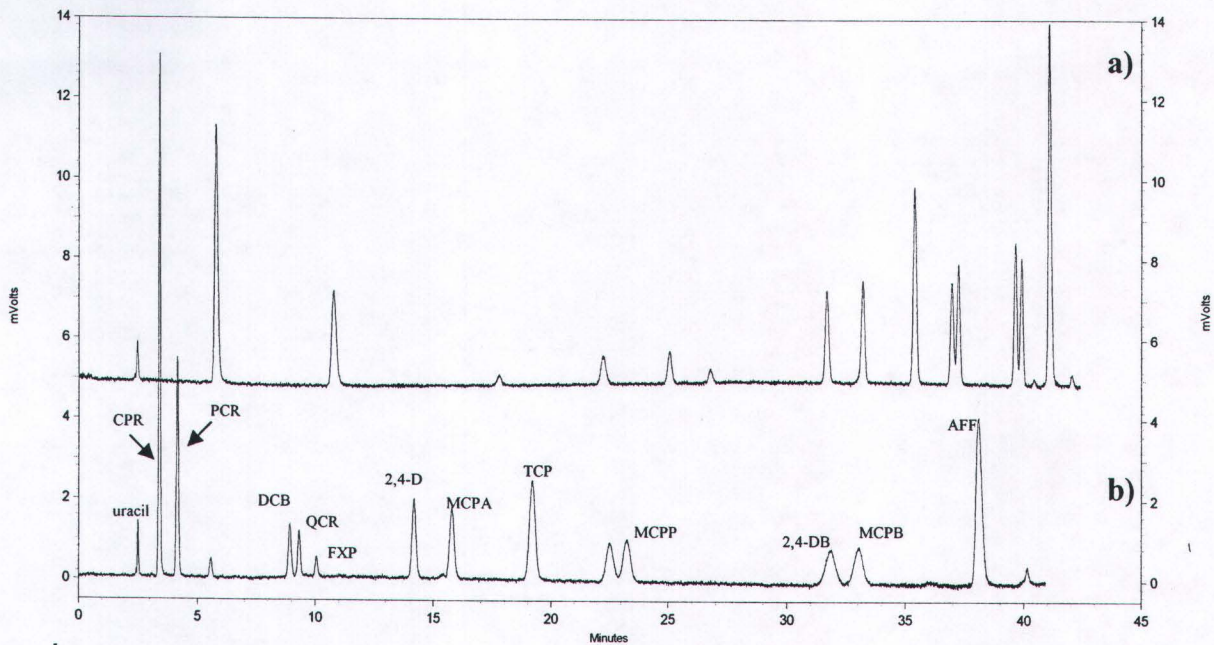
ได้ศึกษาพฤติกรรมการเคลื่อนที่และการแยกของ phenoxy acid herbicides ด้วย μHPLC ที่มีเครื่องตรวจวัดเป็น UV โดยนำคอลัมน์ ODS200 ที่เตรียมได้มามาใช้เป็นคอลัมน์แยกสาร เนื่องจากคอลัมน์ ODS100 และ ODS200 ให้ประสิทธิภาพพอๆ กัน แต่คอลัมน์ ODS200 ให้ sample loading ที่มากกว่าจึงเลือกใช้คอลัมน์ ODS200 และใช้เฟสเคลื่อนที่ในภาวะที่เป็นกรดประปกอนด้วย 0.1% กรดฟอร์มิกในน้ำ:0.1% กรดฟอร์มิกในเมทานอล โดยในที่นี้ใช้กรดฟอร์มิกแทนกรดอะซิติก เนื่องจากในตอนนี้ได้ลองหาภาวะที่ใช้ในการแยกสารเบื้องต้นโดยใช้เครื่องตรวจวัด UV เพื่อจะนำภาวะที่ได้เป็นแนวทางไปใช้สำหรับเครื่องตรวจวัด MS สำหรับกรดที่นิยมเดิมลงไปในเฟสเคลื่อนที่ที่ใช้ใน LC-MS ควรเป็นกรดกลาญเป็นไอโอดีเจ่าย เช่น กรดอะซิติก หรือกรดฟอร์มิก แต่ส่วนใหญ่นิยมเลือกใช้กรดฟอร์มิกเนื่องจากแตกตัวให้ไปร่องได้ดีกว่า แต่อย่างไรก็ตามเมื่อทำการทดลองใน μHPLC-MS จะศึกษาถึงผลของการดูดซึมของกรดอะซิติก หรือกรดฟอร์มิกที่มีต่อการวิเคราะห์สารอีครั้งหนึ่ง

ในการแยกสารเบื้องต้นได้ปรับเปลี่ยนองค์ประกอบของเฟสเคลื่อนที่เป็นแบบ gradient elution (อัตราส่วนของเฟสเคลื่อนที่เปลี่ยนไปในช่วงเวลาต่างๆ) เริ่มจากการปรับเพิ่มอัตราส่วนของตัวทำละลายอินทรีย์ (0.1% กรดฟอร์มิกในเมทานอล) จาก 20 เป็น 80% ภายใน 40 นาที (รูปที่ 2.11a) จะเห็นว่าในช่วงแรกๆ พิกของสารแยกออกจากกันได้ดี ส่วนพิกท้ายโครโนไทแกรมบางพิกยังแยกจากกันไม่สมบูรณ์ จึงได้ทำการปรับเปลี่ยนรูปแบบของ gradient โดยในช่วงแรกเพิ่มอัตราส่วนของตัวทำละลายอินทรีย์ เพื่อให้พิกสารส่วนต้นโครโนไทแกรมจะได้เคลื่อนที่ออกจากกันได้เร็วขึ้น แล้วในช่วงหลัง ลดอัตราส่วนของตัวทำละลายอินทรีย์ (เพิ่ม k หรือปรับ α) เพื่อปรับให้พิกท้ายโครโนไทแกรมแยกออกจากกันดีขึ้น ซึ่งในงานวิจัยนี้ได้ทดลองปรับเปลี่ยน gradient elution หลายๆ รูปแบบจนได้โครโนไทแกรมที่แยกสารได้สมบูรณ์และใช้ระยะเวลาที่เหมาะสมภายใน 40 นาที ดังรูปที่ 2.11b

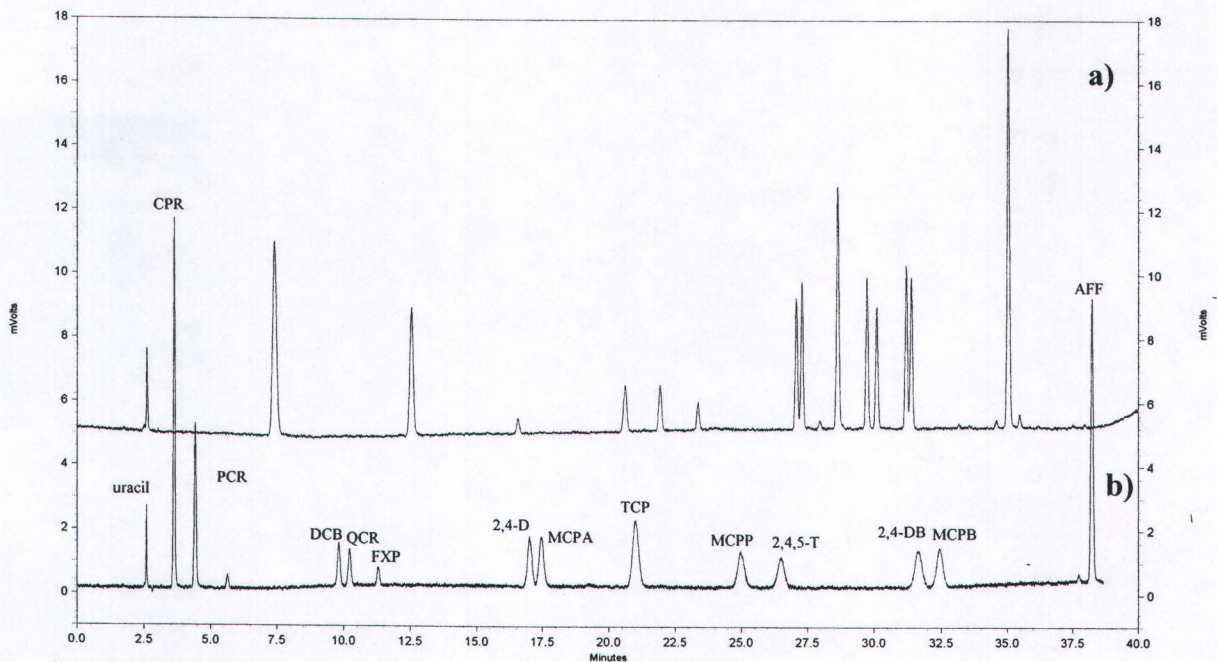
จากนั้นได้ทำการเปลี่ยนชนิดของตัวทำละลายอินทรีย์จากเมทานอลเป็นอะซิโตในไทรล์ และปรับเปลี่ยนองค์ประกอบของเฟสเคลื่อนที่เป็นแบบ gradient elution จนได้ภาวะที่สามารถแยกสารได้ดีภายในระยะเวลาที่เหมาะสมแสดงดังรูปที่ 2.12b เมื่อเปรียบเทียบการแยกสารในตัวทำละลายอินทรีย์ที่เป็นอะซิโตในไทรล์และเมทานอล จะเห็นว่าทั้งสองตัวทำละลายอินทรีย์สามารถแยกสารได้ดี และใช้ระยะเวลาในการแยกสารพอๆ กัน แต่มีลำดับการออกของสารสลับกัน 1 คู่ คือ MCPP กับ 2,4,5-T เนื่องจากเมื่อเปลี่ยนตัวทำละลายอินทรีย์ส่งผลกระทบต่อ selectivity ของสารได้

เมื่อเปรียบเทียบภาวะที่ดีที่สุดสำหรับการแยกสารด้วย conventional column และ มองอลิทิกคอลัมน์ (รูปที่ 2.10 และ 2.11) พบร่วมคอลัมน์ทั้งสองประเภทสามารถใช้แยกและวิเคราะห์สารกลุ่มฟีโนกซีแอซิดได้ แต่ในมองอลิทิกคอลัมน์สามารถแยกสารทุกพิกได้ baseline resolution ทั้ง

ในเฟสเคลื่อนที่เป็นเมทานอลและอะซิโตในไทรล์ ถึงแม้ว่ามอนอเลทิกคอลัมน์ใช้ระยะเวลาแยกสารที่นานกว่า เนื่องจากใช้ความยาวของมอนอเลทิกคอลัมน์ค่อนข้างมาก



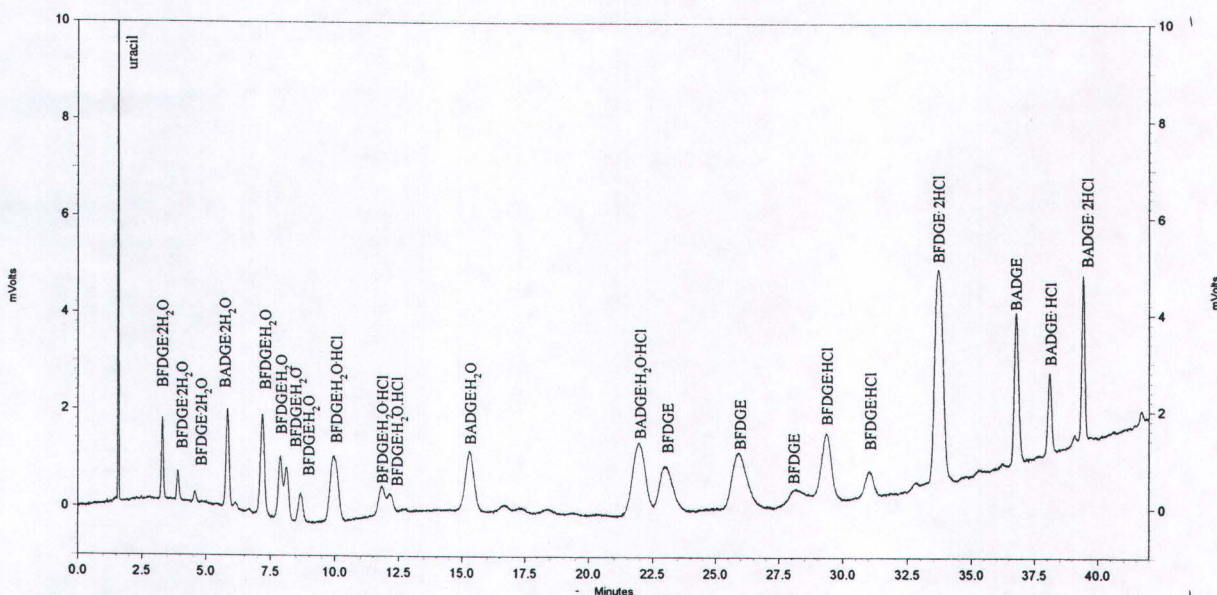
รูปที่ 2.11 โกรมาโทแกรมของ phenoxy acid herbicides ด้วย μ HPLC โดยใช้เฟสเคลื่อนที่เป็น 0.1% formic acid ในน้ำ:0.1% formic acid ในเมทานอล (A:B) ด้วย gradient elution ดังนี้ a) 20-80% B (0-40 min) และ b) 45-44% B (0-3 min), 55% B (3-25 min), 55-60% B (25-26 min), 60% B (26-30 min), 60-80% B (30-35 min), 80% B (35-40 min) ภาวะอื่นๆ : คอลัมน์ ODS200a (ยาว 40 cm) และอัตราไฟล 0.351 mL/min ($\mu = 2.5$ mm/s และ split ratio ประมาณ 75:1) และตรวจวัดที่ความยาวคลื่น 280 nm



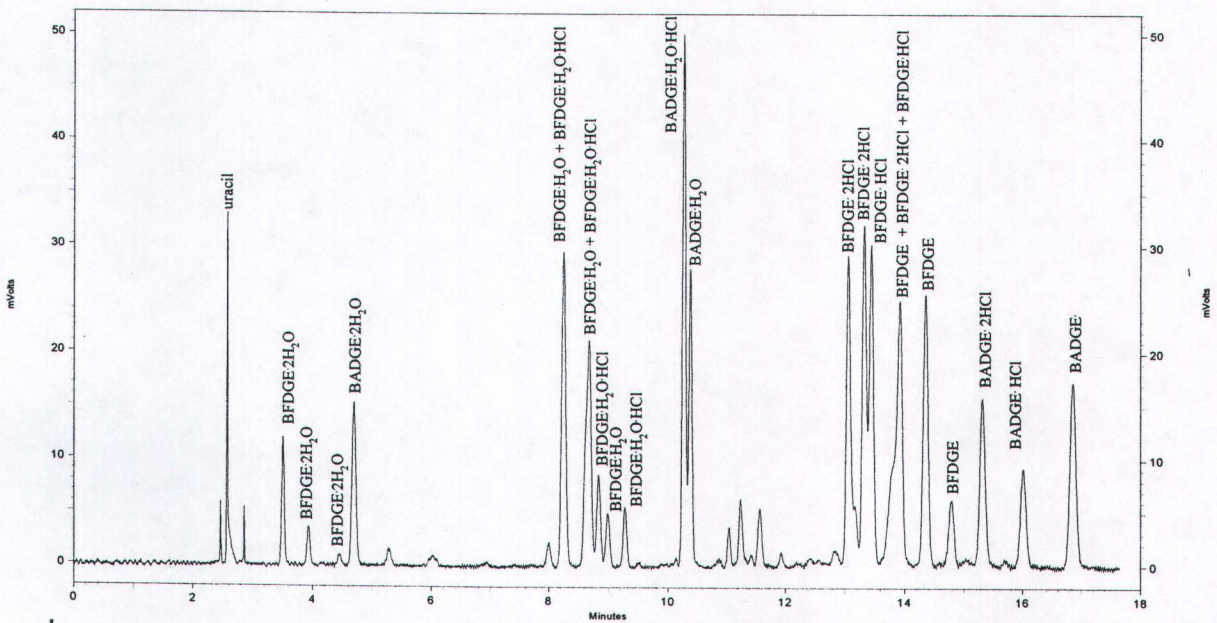
รูปที่ 2.12 โกรมาโทแกรมของ phenoxy acid herbicides ด้วย μ HPLC โดยใช้เฟสเคลื่อนที่เป็น 0.1% กรดฟอร์มิกในน้ำ:0.1% กรดฟอร์มิกในอะซิโตในไทรอล (A:B) ด้วย gradient elution ดังนี้ a) 20-80%B (0-40 min) และ b) 32-40%B (0-3 min), 40%B (3-18 min), 40-42%B (18-19 min), 42%B (19-25 min), 42-60%B (25-30 min) และ 60%B (30-40min) ภาวะอื่นๆ : คอลัมน์ ODS200 (ยาว 40 cm) และอัตราไฟล 0.369 mL/min ($u = 2.5$ mm/s และ split ratio 78:1) และตรวจวัดที่ความยาวคลื่น 280 nm

2) ภาวะที่เหมาะสมสำหรับการแยก BADGE, BFDGE และอนุพันธ์ด้วยคอลัมน์ ODS

ได้ศึกษาพฤติกรรมการเคลื่อนที่และการแยกของ BADGE, BFDGE และอนุพันธ์ด้วย μ HPLC-UV โดยนำคอลัมน์ ODS200 ที่เตรียมได้มาใช้เป็นคอลัมน์แยกสาร และเฟสเคลื่อนที่ประกอบด้วยน้ำและตัวทำละลายอินทรีย์ (เมทานอลหรืออะซิโตในไทรอล) โดยปรับเปลี่ยนองค์ประกอบของเฟสเคลื่อนที่เป็นแบบ gradient elution สำหรับเฟสเคลื่อนที่ที่เป็นน้ำและเมทานอล ได้ภาวะที่เหมาะสมในการแยกสารดังรูปที่ 2.13 พิกของ BADGE, BFDGE และอนุพันธ์แต่ละชนิดแยกออกจากกัน ได้สมบูรณ์และสำหรับ BFDGE และอนุพันธ์บางตัวสามารถแยกໄอโซเมอร์ออกจากกัน ได้ชัดเจน ถึงแม่ว่าเวลาที่ใช้ในการวิเคราะห์จะพอๆ กับการแยกสารด้วย conventional column ที่ได้รายงานไว้ก่อนหน้านี้ [Leepipatpiboon et al.: 2005] เมื่อเปลี่ยนเฟสเคลื่อนที่เป็นน้ำ และอะซิโตในไทรอล (รูปที่ 2.14) พิกของสารบางพิกไม่สามารถแยกออกจากกันได้สมบูรณ์



รูปที่ 2.13 โครมาโทแกรมของ BADGE, BFDGE และอนุพันธ์ ด้วย μHPLC โดยใช้การแยกดังนี้:
เฟสเคลื่อนที่เป็น น้ำ:เมทานอล (A:B) ด้วย gradient elution ดังนี้ 50%B (0-25 min), 50-80%B (25-45 min) ภาวะอื่นๆ : คอลัมน์ ODS200 ยาว 40 cm และอัตราไฟล 0.426 mL/นาที ($\mu = 2.5 \text{ mm/s}$ และ split ratio ประมาณ 90:1) และตรวจวัดที่ความยาวคลื่น 220 nm



รูปที่ 2.14 โครมาโทแกรมของ BADGE, BFDGE และอนุพันธ์ ด้วย μHPLC โดยใช้การแยกดังนี้: เฟสเคลื่อนที่เป็น น้ำ:อะซิโตไนท์ (A:B) ด้วย gradient elution ดังนี้ 40-50%B (0-2 min), 50 (2-3 min), 50-60%B (3-5 min), 60%B (5-15 min) ภาวะอื่นๆ : คอลัมน์ ODS200b (ยาว 40 cm) และอัตราไฟล 0.344 mL/min ($\mu = 2.5 \text{ mm/s}$ และ split ratio ประมาณ 73:1) และตรวจวัดที่ความยาวคลื่น 220 nm

3) การหาภาวะที่เหมาะสมสำหรับแยกสาร (phenoxy acids และ acidic herbicides และ BADGE, BFDGE และอนุพันธ์) ด้วยคอลัมน์ ODM

ได้ศึกษาพัฒนาระบบการเคลื่อนที่และการแยกของ phenoxy acid herbicides ด้วย μHPLC ที่มีเครื่องตรวจวัดเป็น UV โดยนำคอลัมน์ ODM200 ที่เตรียมได้มาใช้เป็นคอลัมน์แยกสาร โดยใช้เฟสเคลื่อนที่ในภาวะที่เป็นกรด ประกอบด้วย 0.1% กรดฟอร์มิกในน้ำ:0.1% กรดฟอร์มิกในตัวทำละลายอินทรีย์ (เมทานอลหรืออะซิโตในไทรล์) และปรับอัตราส่วนของเฟสเคลื่อนที่แบบ gradient elution (ไม่ได้แสดงограмมาโทแกรมในที่นี้) พบว่าพิกที่ได้มีลักษณะ tailing อาจเนื่องจากสารแตกตัวได้บางส่วน จึงเกิดอันตรายร้ายกับหมู่ชีวนิตรที่เหลืออยู่บนเฟลสกงที่ได้ นอกจากนี้ได้หาภาวะที่เหมาะสมสำหรับแยก BADGE, BFDGE และอนุพันธ์โดยใช้เฟสเคลื่อนที่เป็นน้ำ:ตัวทำละลายอินทรีย์ พบร่วมกับไม่สามารถแยกพิกสารออกจากกันได้สมบูรณ์ถึงแม้ว่าจะใช้อัตราส่วนของตัวทำละลายอินทรีย์ต่ำๆ และกีตาน ทำให้ในการแยกสารทั้งสองกลุ่มด้วยคอลัมน์ ODM ไม่ประสบผลสำเร็จ

2.4 สรุปผลการทดลอง

ได้เตรียมคอลัมน์มอนออดิทิกซิลิคคอลัมน์ แล้วนำไปปรับปรุงเพื่อผิวเฟลสกงที่ได้เป็นคอลัมน์ ODS และคอลัมน์ ODM จากนั้นนำคอลัมน์ ODS มาหาภาวะที่เหมาะสมในการแยกสารในกลุ่ม phenoxy acids และ acidic herbicides โดยสามารถแยกพิกสารได้สมบูรณ์ ใช้เวลาในการวิเคราะห์สารประมาณ 40 นาที ทั้งในเฟสเคลื่อนที่ที่มีตัวทำละลายอินทรีย์เป็นเมทานอลและอะซิโตในไทรล์ นอกจากนี้ได้นำคอลัมน์ ODS มาหาภาวะที่เหมาะสมในการแยกสารกลุ่ม BAGDE, BFDGE และอนุพันธ์ โดยในการใช้เฟสเคลื่อนที่ที่มีตัวทำละลายเป็นเมทานอลสามารถแยกพิกสารออกจากกันได้สมบูรณ์ ใช้เวลาประมาณ 40 นาที ในขณะที่ตัวทำละลายเป็นอะซิโตในไทรล์ไม่สามารถแยกพิกสารทุกพิกออกจากกันได้สมบูรณ์

เอกสารอ้างอิง

- Berger U., Oehme M., and Girardin L. "Quantification of derivatives of bisphenol A diglycidyl ether (BADGE) and novolac glycidyl ether (NOGE) migrated from can coatings into tuna by HPLC/fluorescence and MS detection" *Fresenius Journal of Analytical Chemistry* **369** (2001) 115-123.
- Cappiello A., Famiglini G., and Berloni A. "Large volume injection of acidic pesticides by reversed-phase micro high-performance liquid chromatography" *Journal of Chromatography A* **768** (1997) 215-222.
- Catalina M.I., Dalluge J., Vreuls R.J.J., and Brinkman U.A.T. "Determination of chlorophenoxy acid herbicides in water by in situ esterification followed by in-vial liquid-liquid extraction combined with large-volume on-column injection and gas chromatography-mass spectrometry" *Journal of Chromatography A* **877** (2000) 153-166.
- Cottier S., Riquet A.M., Feigenbaum A., Pollet B., Lapierre C., and Mortreuil P. "Identification of potential migrants from a vinylic organosol varnish by gas chromatography mass spectrometry and liquid chromatography mass spectrometry" *Journal of Chromatography A* **771** (1997) 366-373.
- Garcia R.S. and Losada P.P. "Determination of bisphenol A diglycidyl ether and its hydrolysis and chlorohydroxy derivatives by liquid chromatography-mass spectrometry" *Journal of Chromatography A* **1032** (2004) 37-43.
- Hirahara Y., Miyata M., Kamakura K., Watanabe Y., Takeda H., Maeda K., and Tonogai Y. "Comparison between methyl and pentafluorobenzyl esterification for analysis of 9 phenoxy acid herbicides in agricultural products" *Japanese Journal of Toxicology and Environmental Health* **43** (1997) 129-139.
- Ishizuka N., Kobayashi H., Minakuchi H., Nakanishi K., Hirao K., Hosoya K., Ikegami T., and Tanaka N. "Monolithic silica columns for high-efficiency separations by high-performance liquid chromatography" *Journal of Chromatography A* **960** (2002) 85-96.
- Jung M. and Brumley W.C. "Trace Analysis of Fluorescein-Derivatized Phenoxy Acid Herbicides by Micellar Electrokinetic Chromatography with Laser-Induced Fluorescence Detection" *Journal of Chromatography A* **717** (1995) 299-308.
- Kruaysawat J., Marriott P.J., Hughes J., and Trenerry C. "Separation of chlorophenoxyacetic acids and chlorophenols by using capillary zone electrophoresis" *Electrophoresis* **22** (2001) 2179-2185.
- Kuang H., Chu X.G., Hou Y.X., and Xu C.L. "Simultaneous determination of 13 phenoxy acid herbicide residues in soybean by GC-ECD" *Analytical Letters* **39** (2006) 2617-2627.
- Leepipatpiboon N., Sae-Khow O., and Jayanta S. "Simultaneous determination of bisphenol-A-diglycidyl ether, bisphenol-F-diglycidyl ether, and their derivatives in oil-in-water and aqueous-based canned foods by high-performance liquid chromatography with fluorescence detection" *Journal of Chromatography A* **1073** (2005) 331-339.
- Legido-Quigley C., Marlin N. D., Melin V., Manz A., and Smith N. W. "Advances in capillary electrochromatography and micro-high performance liquid chromatography monolithic columns for separation science" *Electrophoresis* **24** (2003) 917-944.



- Lintschinger J. and Rauter W. "Simultaneous determination of bisphenol A-diglycidyl ether, bisphenol F-diglycidyl ether and their hydrolysis and chlorohydroxy derivatives in canned foods" *European Food Research and Technology* **211** (2000) 211-217.
- Miyamoto K., Takeshi H., Kobayashi H., Morisaka H., Tokuda D., Horie K., Koduki K., Makino S., Núñez O., Yang C., Kawabe T., Ikegami T., Takubo H., Ishihama Y., and Tanaka N. "High-Efficiency Liquid Chromatography Separation Utilizing Long Monolithic Silica Capillary Columns" *Analytical Chemistry* **80** (2008) 8741-8750.
- Motokawa M., Kobayashi H., Ishizuka N., Minakuchi H., Nakanishi K., Jinnai H., Hosoya K., Ikegami T., and Tanaka N. "Monolithic silica columns with various skeleton sizes and through-pore sizes for capillary liquid chromatography" *Journal of Chromatography A* **961** (2002) 53-63.
- Nerin C., Philo M.R., Salafranca J., and Castle L. "Determination of bisphenol-type contaminants from food packaging materials in aqueous foods by solid-phase microextraction-high-performance liquid chromatography" *Journal of Chromatography A* **963** (2002) 375-380.
- Nilsson T., Baglio D., Galdo-Miguez I., Madsen J.O., and Facchetti S. "Derivatisation/solid-phase microextraction followed by gas chromatography mass spectrometry for the analysis of phenoxy acid herbicides in aqueous samples" *Journal of Chromatography A* **826** (1998) 211-216.
- Núñez O., Ikegami T., Kajiwara W., Miyamoto K., Horie K., and Tanaka N. "Preparation of high efficiency and highly retentive monolithic silica capillary columns for reversed-phase chromatography by chemical modification by polymerization of octadecyl methacrylate" *Journal of Chromatography A* **1156** (2007) 35-44.
- Núñez O., Nakanishi, K., and Tanaka, N. "Preparation of Monolithic Silica Columns for High-Performance Liquid Chromatography" *Journal of Chromatography A* **1191** (2008) 231-252.
- Pereiro I.R., Irimia R.G., Cano E.R., and Torrijos R.C. "Optimisation of a gas chromatographic-mass spectrometric method for the determination of phenoxy acid herbicides in water samples as silyl derivatives" *Analytica Chimica Acta* **524** (2004) 249-256.
- Rimmer D.A., Johnson P.D., and Brown R.H. "Determination of phenoxy acid herbicides in vegetation, utilising high-resolution gel permeation chromatographic clean-up and methylation with trimethylsilyldiazomethane prior to gas chromatographic analysis with mass-selective detection" *Journal of Chromatography A* **755** (1996) 245-250.
- Rodriguez I., Rubi E., Gonzalez R., Quintana J.B., and Cela R. "On-fibre silylation following solid-phase microextraction for the determination of acidic herbicides in water samples by gas chromatography" *Analytica Chimica Acta* **537** (2005) 259-266.
- Rosales-Conrado N., Leon-Gonzalez M.E., Perez-Arribas L.V., and Polo-Diez L.M. "Determination of chlorophenoxy acid herbicides and their esters in soil by capillary high performance liquid chromatography with ultraviolet detection, using large volume injection and temperature gradient" *Analytica Chimica Acta* **470** (2002) 147-154.
- Synder L.R., Kirkland J.J., and Glajeh J.L. (1997) Practical HPLC method development John Wiley&Son, Inc.

- Takino M., Daishima S., and Nakahara T. "Automated on-line in-tube solid-phase microextraction followed by liquid chromatography/electrospray ionization-mass spectrometry for the determination of chlorinated phenoxy acid herbicides in environmental waters" *Analyst* **126** (2001) 602-608.
- Wu J.M., Ee K.H., and Lee H.K. "Automated dynamic liquid-liquid-liquid microextraction followed by high-performance liquid chromatography-ultraviolet detection for the determination of phenoxy acid herbicides in environmental waters" *Journal of Chromatography A* **1082**(2005) 121-127.